

Blade R downlight

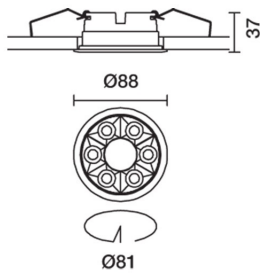
Design iGuzzini

iGuzzini

Ultimo aggiornamento delle informazioni: Gennaio 2025

Configurazione di prodotto: QS20

QS20: Frame Ø 80 - Wide Flood beam - LED



Codice prodotto

QS20: Frame Ø 80 - Wide Flood beam - LED

Descrizione tecnica

Apparecchio anulare costituito da 6 elementi ottici per sorgenti LED- ottiche fisse. Il sistema ottico garantisce un elevatissimo confort visivo ed assenza di abbagliamento. Corpo che include la superficie radiante realizzata in pressofusione di alluminio. Versione che include la cornice perimetrale di battuta. Riflettori ad alta definizione realizzati in materiale termoplastico metallizzato con vapori di alluminio sotto vuoto, integrati e posizionati in modo arretrato rispetto allo schermo anti abbagliamento. Fornito di unità di alimentazione collegata all'apparecchio. Cover centrale disponibile con codifica separata.

Installazione

Ad incasso con molle in filo di acciaio per controsoffitti da 1 a 25 mm - foro per installazione Ø 80.

Colore

Bianco (01) | Nero/Nero (43) | Bianco/Nero (47) | Bianco/Oro (41)* | Bianco/Cromo brunito (E7)*

Peso (Kg)

0.3

* Colori a richiesta

Montaggio

incasso a soffitto

Cablaggio

Sull'unità di alimentazione con morsettieria inclusa. Disponibile nelle versioni DALI.

Note

Cover centrale di completamento dell'apparecchio da ordinare con codifica separata - disponibile in finitura standard è predisposta per essere verniciata in finiture personalizzate.

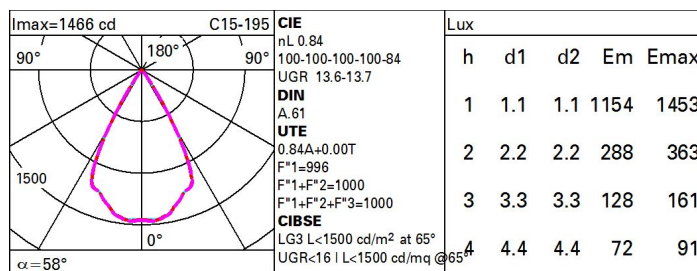
Soddisfa EN60598-1 e relative note



Dati tecnici

| | | | |
|--|------|--|---|
| Im di sistema: | 1134 | Life Time LED 1: | > 50,000h - L80 - B10 (Ta 25°C) |
| W di sistema: | 14.5 | Voltaggio [Vin]: | 230 |
| Im di sorgente: | 1350 | Codice lampada: | LED |
| W di sorgente: | 12 | Numero di lampade per vano ottico: | 1 |
| Efficienza luminosa (lm/W, dati di sistema): | 78.2 | Codice ZVEI: | LED |
| Im in modalità emergenza: | - | Numero di vani ottici: | 1 |
| Flusso totale emesso a 90° o superiore [Lm]: | 0 | Power factor: | Vedi istruzioni di installazione |
| Light Output Ratio (L.O.R.) [%]: | 84 | Corrente di spunto (in-rush): | 5 A / 220 µs |
| Angolo di apertura [°]: | 58° | Massimo numero di apparecchi collegabili a ogni interruttore automatico: | B10A: 81 apparecchi B16A: 130 apparecchi C10A: 135 apparecchi C16A: 221 apparecchi |
| CRI (minimo): | 90 | % minima di dimmerazione: | 1 |
| Temperatura colore [K]: | 4000 | Control: | DALI-2 |
| MacAdam Step: | 2 | | |

Polare



Coefficienti di utilizzazione

| R | 77 | 75 | 73 | 71 | 55 | 53 | 33 | 00 | DRR |
|------|----|----|----|----|----|----|----|----|-----|
| K0.8 | 76 | 72 | 69 | 67 | 71 | 69 | 68 | 66 | 78 |
| 1.0 | 79 | 76 | 73 | 71 | 75 | 73 | 72 | 69 | 83 |
| 1.5 | 83 | 80 | 78 | 77 | 79 | 78 | 77 | 74 | 89 |
| 2.0 | 86 | 84 | 82 | 81 | 83 | 81 | 80 | 78 | 93 |
| 2.5 | 87 | 86 | 85 | 84 | 85 | 83 | 83 | 80 | 96 |
| 3.0 | 88 | 87 | 86 | 86 | 86 | 85 | 84 | 82 | 98 |
| 4.0 | 89 | 88 | 88 | 87 | 87 | 87 | 85 | 83 | 99 |
| 5.0 | 90 | 89 | 89 | 89 | 88 | 88 | 86 | 84 | 100 |

Curva limite di luminanza

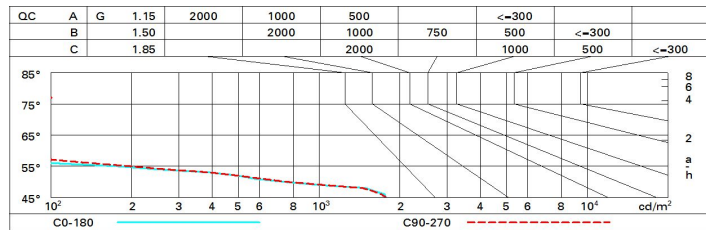


Diagramma UGR

| Corrected UGR values (at 1350 lm bare lamp luminous flux) | | | | | | | | | | | |
|---|------|------------------|------|------|------|------|----------------|------|------|------|------|
| Reflect.: | | viewed crosswise | | | | | viewed endwise | | | | |
| ceil/cav | | 0.70 | 0.70 | 0.50 | 0.50 | 0.30 | 0.70 | 0.70 | 0.50 | 0.50 | 0.30 |
| walls | | 0.50 | 0.30 | 0.50 | 0.30 | 0.30 | 0.50 | 0.30 | 0.50 | 0.30 | 0.30 |
| work pl. | | 0.20 | 0.20 | 0.20 | 0.20 | 0.20 | 0.20 | 0.20 | 0.20 | 0.20 | 0.20 |
| Room dim | | viewed crosswise | | | | | viewed endwise | | | | |
| x | y | | | | | | | | | | |
| 2H | 2H | 14.2 | 14.8 | 14.5 | 15.0 | 15.3 | 14.3 | 14.9 | 14.6 | 15.1 | 15.4 |
| | 3H | 14.1 | 14.6 | 14.4 | 14.9 | 15.2 | 14.2 | 14.7 | 14.5 | 15.0 | 15.2 |
| | 4H | 14.0 | 14.5 | 14.3 | 14.8 | 15.1 | 14.1 | 14.6 | 14.4 | 14.9 | 15.2 |
| | 6H | 13.9 | 14.4 | 14.3 | 14.7 | 15.0 | 14.0 | 14.5 | 14.4 | 14.8 | 15.1 |
| | 8H | 13.9 | 14.3 | 14.3 | 14.7 | 15.0 | 14.0 | 14.4 | 14.3 | 14.7 | 15.1 |
| | 12H | 13.9 | 14.3 | 14.2 | 14.6 | 15.0 | 13.9 | 14.4 | 14.3 | 14.7 | 15.1 |
| 4H | 2H | 14.0 | 14.5 | 14.3 | 14.8 | 15.1 | 14.1 | 14.6 | 14.4 | 14.9 | 15.2 |
| | 3H | 13.9 | 14.3 | 14.2 | 14.6 | 15.0 | 13.9 | 14.4 | 14.3 | 14.7 | 15.1 |
| | 4H | 13.8 | 14.1 | 14.2 | 14.5 | 14.9 | 13.9 | 14.2 | 14.3 | 14.6 | 15.0 |
| | 6H | 13.7 | 14.0 | 14.1 | 14.4 | 14.8 | 13.8 | 14.1 | 14.2 | 14.5 | 14.9 |
| | 8H | 13.6 | 13.9 | 14.1 | 14.3 | 14.8 | 13.7 | 14.0 | 14.2 | 14.4 | 14.9 |
| | 12H | 13.6 | 13.9 | 14.0 | 14.3 | 14.7 | 13.7 | 13.9 | 14.1 | 14.4 | 14.8 |
| 8H | 4H | 13.6 | 13.9 | 14.1 | 14.3 | 14.8 | 13.7 | 14.0 | 14.2 | 14.4 | 14.9 |
| | 6H | 13.5 | 13.8 | 14.0 | 14.2 | 14.7 | 13.6 | 13.9 | 14.1 | 14.3 | 14.8 |
| | 8H | 13.5 | 13.7 | 14.0 | 14.2 | 14.7 | 13.6 | 13.8 | 14.1 | 14.2 | 14.7 |
| | 12H | 13.4 | 13.6 | 13.9 | 14.1 | 14.6 | 13.5 | 13.7 | 14.0 | 14.2 | 14.7 |
| 12H | 4H | 13.6 | 13.9 | 14.0 | 14.3 | 14.7 | 13.7 | 13.9 | 14.1 | 14.4 | 14.8 |
| | 6H | 13.5 | 13.7 | 14.0 | 14.2 | 14.7 | 13.6 | 13.8 | 14.1 | 14.2 | 14.7 |
| | 8H | 13.4 | 13.6 | 13.9 | 14.1 | 14.6 | 13.5 | 13.7 | 14.0 | 14.2 | 14.7 |
| Variations with the observer position at spacing: | | | | | | | | | | | |
| S = | 1.0H | 6.7 / -28.1 | | | | | 6.7 / -27.6 | | | | |
| | 1.5H | 9.5 / -30.7 | | | | | 9.5 / -30.1 | | | | |
| | 2.0H | 11.5 / -30.9 | | | | | 11.5 / -30.3 | | | | |